

YAG 晶体中 Cr^{4+} 和 Yb^{3+} 的光谱 和荧光特性研究

董俊 邓佩珍 徐军

(中国科学院上海光学精密机械研究所, 上海 201800)

摘要 报道了(Cr^{4+} , Yb^{3+})·YAG 晶体的吸收光谱和荧光光谱特性。在室温下, (Cr^{4+} , Yb^{3+})·YAG 晶体在 937 nm 和 968 nm 处存在两个吸收带, 能与 InGaAs 激光二极管有效耦合; 而且在 1030 nm 处有一 Cr^{4+} 吸收峰, 可以实现对 Yb^{3+} 的自调 Q 激光输出。 $(\text{Cr}^{4+}, \text{Yb}^{3+})\cdot\text{YAG}$ 晶体的荧光光谱与 $\text{Yb}^{3+}\cdot\text{YAG}$ 晶体一样, 发光中心也是位于 1029 nm, 但其强度比 $\text{Yb}^{3+}\cdot\text{YAG}$ 晶体的要低。 $(\text{Cr}^{4+}, \text{Yb}^{3+})\cdot\text{YAG}$ 晶体和 $\text{Yb}^{3+}\cdot\text{YAG}$ 晶体的荧光寿命分别为 0.3 ms 和 1.4 ms。因此双掺 Cr^{4+} 和 Yb^{3+} 的 YAG 晶体将有可能成为一种自调 Q 激光晶体, 从而实现固体激光器的小型化, 全固化。

关键词 (Cr^{4+} , Yb^{3+})·YAG 晶体, 光谱性质, 自调 Q 激光晶体。

1 引言

调 Q 激光具有高脉冲能量和峰值功率, 可用于钻孔和切割高强度材料、测距、污染监控、非线性光学处理以及遥视等方面。目前被动 Q 开关材料主要有有机染料和无机色心晶体^[1, 2], 有机染料由于受到热稳定性差、破坏阈值低、易老化等缺点限制, 用在连续抽运激光时需附加循环冷却系统; 而色心晶体如 LiF 则具有低的色心浓度和短的激发态寿命(约 105 ns), 能级寿命太短, 会由于自发辐射而明显地减少处于激发态的粒子数目, 色心浓度低, 则需要增大晶体尺寸, 因而增加了晶体内部损耗, 此外 LiF 晶体色心随时间衰退的特点也限制了其稳定运行的寿命。

最近发现掺 Cr^{4+} 的 YAG、GSGG、 MgSiO_4 晶体在 1064 nm 的 Nd^{3+} 激光中具有色心的可饱和吸收特性^[3~6]。现已证实这一可饱和吸收特性与 Cr^{4+} 有关^[6, 7], 可用作自调 Q 开关, 尤其是 $\text{Cr}^{4+}\cdot\text{YAG}$ 晶体, 是被动调 Q 开关的理想材料, 特别适用于高功率和高重复率激光器, 双掺(Cr^{4+} , Nd^{3+})·YAG 是一种性能很好的自调 Q 激光材料^[3, 4, 8]。

近年来, 由于高性能的二极管(InGaAs, 波长 900~1100 nm)的发展, 可以有效地抽运 Yb^{3+} 离子, 因而掺 Yb^{3+} 激光材料引起人们浓厚的兴趣^[9, 10]。美国利夫莫尔实验室的 Payne 和 Krupe 预言在 5 年之内掺 Yb^{3+} 激光器的输出功率将达 10 kW^[11]。 Yb^{3+} 的电子构型为 $4f^{13}$, 仅有 $F_{3/2}$ 基态和 $F_{5/2}$ 激发态, 相隔大约 10000 cm⁻¹, 因此它只有一个吸收带, 吸收峰位于 970 nm 附近, 由于缺乏其它的 $4f$ 能级结构, 各种对激光性能不利的效应如浓度淬灭、上转换和激发态吸收等均不存在, 因此, 它具有热负荷低、高的转换效率和长的荧光寿命、储能能

力强的特点。

与掺 Nd³⁺ 的晶体相比, Yb³⁺ 具有宽的二极管抽运吸收带, 相对大的发射截面, 高的热传导率, 荧光寿命长, 容易生长高质量高掺杂浓度的晶体且没有浓度淬灭。如果生长共掺 (Cr⁴⁺, Yb³⁺) 的 YAG 晶体将会把 Yb³⁺ 的优点与 Cr⁴⁺ 的可饱和吸收特性结合起来, 将有可能成为一种比 Cr⁴⁺, Nd³⁺ -YAG 晶体性能更好的自调 Q 激光晶体。这样可实现二极管抽运固体激光器的小型化、集成化和实用化。

我们制备了原子数分数为 0.1 的 Yb 和 0.001 Cr 的(Cr⁴⁺, Yb³⁺) -YAG 晶体, 研究了晶体的吸收光谱特性以及退火对晶体吸收特性的影响。

2 试验过程

采用中频感应加热提拉法生长(Cr⁴⁺, Yb³⁺) -YAG 晶体, 所用生长设备及热腔结构如文献[12]所述。先将各种高纯氧化物粉末(Cr₂O₃、Yb₂O₃、Y₂O₃、Al₂O₃ 和 CaO)按化学计量配比严格称量, 配好的混合氧化物粉末经搅拌研磨均匀, 加压成块, 在空气中 1400℃恒温烧结数小时后装入铱金坩埚。生长时以未掺杂的 YAG 晶体为籽晶, 生长方向为 $\langle 111 \rangle$, 生长速率 1 mm/h, 晶体转速为 15 r. p. m。用 N₂ 做保护气体。生长出的晶体呈褐色, 毛坯尺寸为 $\Phi 30 \times 100$ mm。试验所用的 Cr⁴⁺ -YAG 和 Yb³⁺ -YAG 晶体也是用同样的中频感应加热提拉法生长的。用提拉法生长的(Cr⁴⁺, Yb³⁺) -YAG 晶体由于存在如核心和应力条纹等缺陷以及 Cr⁴⁺ 离子的浓度较低, 因此有必要进行退火处理。退火过程如下: 将晶体在 1400℃氧化气氛下保温 50 小时, 以 10℃/h 的速率降至室温, 晶体的颜色变为棕褐色, 而且核心及应力条纹均有所减小。

光谱测量所用的样品经 X 射线定向后, 垂直于 $\langle 111 \rangle$ 方向切割, 样品经粗、细磨和抛光, 样品厚 0.19 cm。晶体的吸收光谱测量所用的仪器是 Perkin-Elmer 9 UV/RIS/NIR 型分光光谱仪。用于荧光光谱测试的抽运光源是连续钛宝石激光器, 激发波长为 968 nm, Yb³⁺ 离子的荧光光谱是通过一台 0.25 m 的单色仪来记录并通过 PbS 来探测。试验过程中, 用一个锁相放大器来提高信噪比。在 968 nm 脉冲激光激发下, 由 Tektronix TDS 420 示波器记录了 Yb³⁺ 的荧光寿命, Yb³⁺ 离子的荧光寿命是由 InGaAs 管探测的, 其精度可达到 1 μs。

3 Cr⁴⁺ 和 Yb³⁺ 吸收和荧光特性的研究分析

(Cr⁴⁺, Yb³⁺) -YAG、Cr⁴⁺ -YAG 和 Yb³⁺ -YAG 晶体的室温吸收光谱分别如图 1、图 2 和图 3 所示, 图中所有的吸收光谱都对样品的背底吸收加以修正。

从图 1 中的实线可以看到, 在可见光范围内, (Cr⁴⁺, Yb³⁺) -YAG 的吸收光谱特性与 Cr⁴⁺ -YAG 的吸收特性(图 2)一样, 都有两个很强很宽的吸收带, 它们分别对应于 Cr³⁺ 的 $\Lambda_2 \rightarrow T_1$ 和 $\Lambda_2 \rightarrow T_2$ 跃迁; 中心位于 937 nm 和 965 nm 的吸收带是对应于 Yb³⁺ 的 $F_{7/2} \rightarrow F_{5/2}$ 的跃迁, 它与图 3 所示的 Yb³⁺ -YAG 晶体中 Yb³⁺ 的吸收特性一样。在 Cr⁴⁺ -YAG 的吸收光谱中(图 2 所示), 中心位于 1064 nm 吸收带是对应于 Cr⁴⁺ 的 $\Lambda_2 \rightarrow T_1$ 跃迁。把 Yb³⁺ -YAG 的吸收光谱叠加到 Cr⁴⁺ -YAG 上, 便可以简单地把 Yb³⁺ 和 Cr⁴⁺ 的吸收特性结合到一起(如图 1 中的虚线所示)。与(Cr⁴⁺, Yb³⁺) -YAG 晶体的吸收光谱(图 1 中的实线所示)相比, 两条曲线的形状几乎一样, 只是在峰值处的吸收系数有一点差别, 特别是在 940 nm 附近, 虚线的吸收系数比实线的要高一些。造成这一不同的主要原因可能与双掺(Cr⁴⁺, Yb³⁺) -YAG 晶体掺杂浓度和晶格场的变化有关。图 1 表明(Cr⁴⁺, Yb³⁺) -YAG 晶体的吸收光谱把 Cr⁴⁺ 和 Yb³⁺ 离子的吸收特性结合到了一起, Cr⁴⁺ 的吸收带位于 900~1100 nm, Yb³⁺ 的两个吸收带位于 Cr⁴⁺ 的

吸收带上。另外, Yb^{3+} 离子在 InGaAs 二极管激光抽运范围内有强吸收, 因此适合于用 InGaAs 激光二极管抽运, 从而实现固体激光器的小型化、集成化。

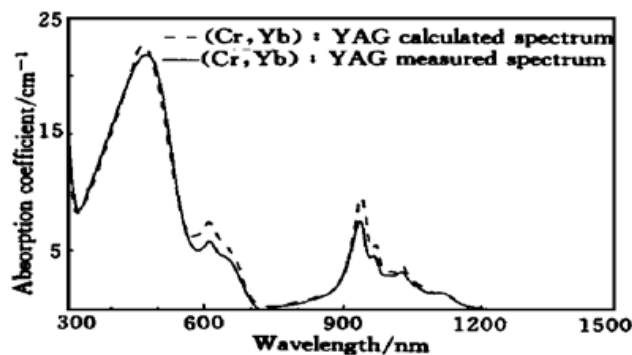


Fig. 1 The absorption spectra of $(\text{Cr}^{4+}, \text{Yb}^{3+})$ - YAG crystal after annealing at room temperature, dot line shows the figure superimposed the spectrum of Yb^{3+} - YAG over the absorption spectrum of Cr^{4+} - YAG

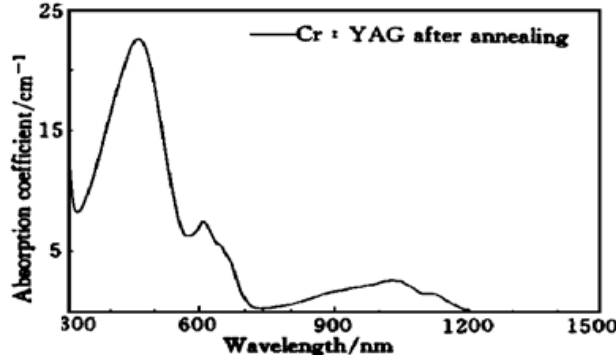


Fig. 2 The absorption spectrum of Cr^{4+} - YAG crystal after annealing at room temperature

$(\text{Cr}^{4+}, \text{Yb}^{3+})$ - YAG 晶体退火前和退火后的吸收光谱如图 4 所示, 退火使得样品的吸收系数有所增大。在可见光范围内, 退火不仅使对应于 Cr^{3+} 的 $A_2 \rightarrow T_1$ 和 $A_2 \rightarrow T_2$ 跃迁的吸收系数增大, 而且使得在其它波长处的吸收光谱形状有所改变。 Cr^{3+} 的主要吸收峰位置分别从 440 nm 移到 470 nm 和从 605 nm 移到 610 nm, 即发生了“红移”。退火前样品的吸收系数在 1030 nm 处为 1.64 cm^{-1} , 在 940 nm 处为 7.07 cm^{-1} ; 退火后, 吸收系数在 1030 nm 处为 3.64 cm^{-1} , 在抽运波长 940 nm 处为 9.16 cm^{-1} 。1030 nm 处吸收系数的增大表明晶体中 Cr^{4+} 浓度的提高, 同时晶体由退火前的褐色变为退火后的棕褐色, 也说明晶体中的 Cr^{4+} 离子浓度有了进一步的提高。图 5 中虚线的数据是从经退火后的 $(\text{Cr}^{4+}, \text{Yb}^{3+})$ - YAG 晶体毛坯的顶端切割的 0.19 cm 厚的样品测量的吸收光谱; 另一条实线是从经退火后的 $(\text{Cr}^{4+}, \text{Yb}^{3+})$ - YAG 晶体毛坯的底部切割的 0.19 cm 厚的样品测量的吸收光谱。两条曲线较好的重合表明了沿着晶体的 $\langle 111 \rangle$ 生长方向几乎不存在 Yb^{3+} 的浓度梯度, 表明 Yb^{3+} 在 YAG 晶体的分凝系数几乎接近 1。

Yb^{3+} - YAG 和 $(\text{Cr}^{4+}, \text{Yb}^{3+})$ - YAG 晶体的荧光光谱如图 6 所示。从图 6 可以看到, $(\text{Cr}^{4+}, \text{Yb}^{3+})$ - YAG 晶体中 Yb^{3+} 的荧光强度比 Yb^{3+} - YAG 晶体中的弱。而且测量所得的

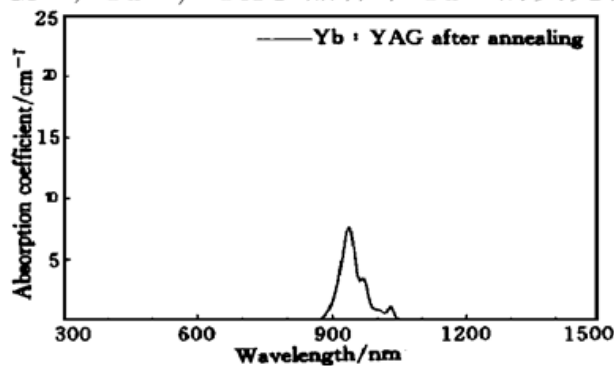


Fig. 3 The absorption spectrum of Yb^{3+} - YAG crystal after annealing at room temperature

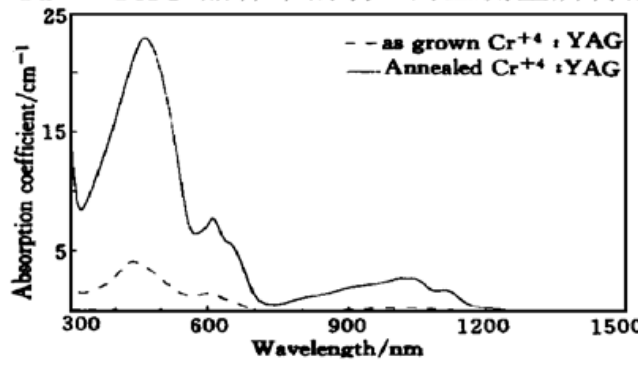


Fig. 4 The absorption spectra of $(\text{Cr}^{4+}, \text{Yb}^{3+})$ - YAG after annealing and as grown at room temperature

(Cr⁴⁺, Yb³⁺)·YAG 晶体的荧光寿命是 0.30 ms, 比 Yb³⁺·YAG 晶体的荧光寿命 1.48 ms 要短。当然, 这也表明(Cr⁴⁺, Yb³⁺)·YAG 晶体的饱和流量比 Yb³⁺·YAG 晶体的要高, 进而表明(Cr⁴⁺, Yb³⁺)·YAG 晶体能存储更多的能量用于放大自发辐射(ASE), 并且可用于调 Q 激光器的自发振荡。

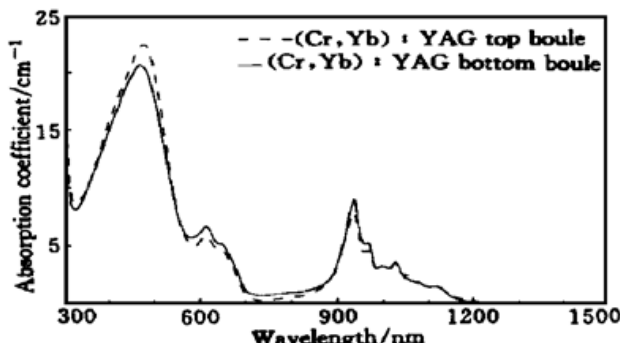


Fig. 5 The absorption spectra of (Cr⁴⁺, Yb³⁺)·YAG crystal in top and bottom at room temperature

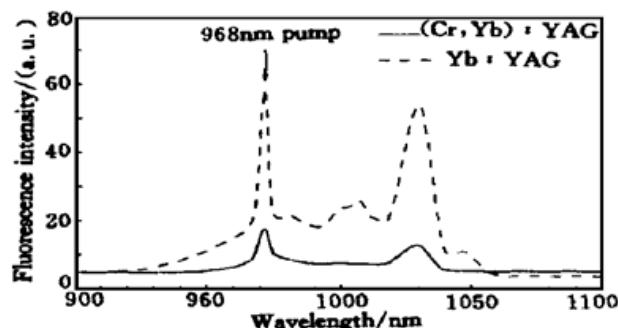


Fig. 6 The fluorescence spectra of Yb³⁺ in Yb·YAG and (Cr⁴⁺, Yb³⁺)·YAG crystals at room temperature

上述分析表明, 退火后, (Cr⁴⁺, Yb³⁺)·YAG 晶体的颜色进一步加深以及在 1030 nm 处的吸收系数的增大都说明 Cr⁴⁺ 离子的浓度有了进一步的提高, 使得晶体可以作为一种可饱和吸收体; 同时, Yb³⁺ 离子的吸收特性在(Cr⁴⁺, Yb³⁺)·YAG 晶体中保持不变, 从而把 Cr⁴⁺ 离子的可饱和吸收特性和 Yb³⁺ 离子的激光增益特性结合到一起, (Cr⁴⁺, Yb³⁺)·YAG 晶体的荧光光谱也证实了这一点。因此, (Cr⁴⁺, Yb³⁺)·YAG 晶体有可能成为一种自调 Q 激光晶体。进一步的激光研究正在进行中。

结 论 研究了掺杂原子数分数为 0.1 的 Yb 和 0.001 Cr 的(Cr⁴⁺, Yb³⁺)·YAG 晶体的吸收和荧光光谱特性。(Cr⁴⁺, Yb³⁺)·YAG 晶体的吸收光谱存在着五大吸收带, 在可见光范围内, 退火使得吸收光谱的峰值由 440 nm 和 605 nm 分别移到 470 nm 和 610 nm; 同时, 退火后吸收系数也有了明显的增加。与 Cr⁴⁺·YAG 和 Yb³⁺·YAG 晶体的吸收光谱相对照, 可以得到(Cr⁴⁺, Yb³⁺)·YAG 晶体把 Cr⁴⁺ 离子的可饱和吸收性和 Yb³⁺ 离子的激光增益特性结合到一起。另外, Yb³⁺ 在 InGaAs 激光二极管抽运范围内有强吸收, 适合于制造轻便的激光二极管抽运的固体激光器。而且, 在 Yb³⁺ 离子的发光波段处有 Cr⁴⁺ 离子的吸收, (Cr⁴⁺, Yb³⁺)·YAG 晶体的荧光光谱也证实了这一点。因此综合看来经退火处理后的(Cr⁴⁺, Yb³⁺)·YAG 晶体将有可能是一种自调 Q 激光晶体。

参 考 文 献

- [1] Morris J A, Pollock C R. Passive Q switching of a diode-pumped and Nd·YAG laser with a saturable absorber. *Opt. Lett.*, 1990, **15**(8) : 440~442
- [2] Beach R, Davin J, Mitchell S et al.. Passive Q-switched transverse-diode-pumped Nd³⁺·YLF laser oscillator. *Opt. Lett.*, 1992, **17**(2) : 124~126
- [3] Gui Y, Yao G, Ji T et al.. Passive Q-switching of Nd·YAG laser using Cr⁴⁺·YAG as a saturable absorber. in *Digest of Conference on Lasers and Electro-Optics*, Washington, D. C.: Optics Society of America, 1984. 166~172
- [4] Danilov A A, Evstigneev V L, Il'ichev N N et al.. Compact GSGG·Cr³⁺·Nd³⁺ laser with passive Q switching. *Sov. J. Quantum Electron.*, 1987, **17**(5) : 573~574

- [5] Demchuk M I, Mikhailov V P, Zhavoronkov N I et al.. Chromium-doped forsterite as a solid-state saturable absorber. *Opt. Lett.*, 1992, **17**(13) : 929~ 930
- [6] Stokowski S E, Randles M H, Morris R C. Growth and characterization of large Nd, Cr·GSGG crystals for high-average-power slab lasers. *IEEE J. Quantum Electron.*, 1988, **QE-24**(6) : 934~ 948
- [7] Petricevic V, Gayen S K, Alfano R R. Laser action in chromium-activated forsterite for near-infrared excitation: Is Cr the lasing ion? *Appl. Phys. Lett.*, 1988, **53**(26) : 2590~ 2592
- [8] Zhou S, Lee K K, Chen Y C. Self-stabilized single-longitudinal-mode operation in a self-Q-switched Cr, Nd-YAG laser. *Opt. Lett.*, 1993, **18**(17) : 1418~ 1419
- [9] Kolbas R M, Anderson N G, Laidig W D et al.. Strained-layer InGaAs-GaAs-AlGaAs photopumped and current injection lasers. *IEEE J. Quantum Electron.*, 1988, **QE-24**(8) : 1605~ 1613
- [10] Pour D P, Gilbert D B, Fabian K B et al.. Low degradation rate in strained InGaAs/AlGaAs single quantum well lasers. *IEEE Photon. Technol. Lett.*, 1990, **2**(2) : 173~ 174
- [11] Payre S A, Krupke W F. A glimpse into the laser crystal ball. *Optics & Photonics News.*, 1996, **7**(8) : 31~ 35
- [12] 张克从, 张乐蕙主编. 晶体生长科学与技术. 北京: 科学出版社, 1997. 467~ 471

Spectral and Luminescence Properties of Cr^{4+} and Yb^{3+} ions in YAG

Dong Jun Den Peizhen Xu Jun

(Shanghai Institute of Optics and Fine Mechanics, The Chinese Academy of Sciences, Shanghai, 201800)

(Received 14 January 1998; revised 22 March 1999)

Abstract The spectral and luminescence properties of $(\text{Cr}^{4+}, \text{Yb}^{3+})\text{-YAG}$ crystal, and the absorption spectra of $\text{Cr}^{4+}\text{-YAG}$ crystal and $\text{Yb}^{3+}\text{-YAG}$ crystal are reported. In the absorption spectra of $(\text{Cr}^{4+}, \text{Yb}^{3+})\text{-YAG}$ crystal, there are two absorption bands at 937 nm and 968 nm respectively, which are suitable for In-GaAs diode laser pumping; and there is a absorption band of Cr^{4+} at 1030 nm, which is suitable for passive Q -switched laser output at 1030 nm. This $(\text{Cr}^{4+}, \text{Yb}^{3+})$ -codoped YAG crystal may be a promising material for compact, efficient and high-stable diode laser pumped solid-state passive Q -switched laser.

Key words $(\text{Cr}^{4+}, \text{Yb}^{3+})\text{-YAG}$ crystal, spectral properties, self- Q -switched laser crystal.